

Starkniederschlagshöhen und -spenden gemäß KOSTRA-DWD-2020

Rasterfeld 71153

(Zeile 71, Spalte 153)

Regenspende und Bemessungsniederschlagswerte in Abhängigkeit von Wiederkehrzeit T und Dauerstufe D

| Dauerstufe D | | Wiederkehrzeit T | | | | | | | | | | | | | | | | | |
|--------------|-----|------------------|------------|------|------------|------|------------|------|------------|------|------------|-------|------------|-------|------------|-------|------------|-------|------------|
| | | 1 a | | 2 a | | 3 a | | 5 a | | 10 a | | 20 a | | 30 a | | 50 a | | 100 a | |
| min | Std | mm | l / (s ha) | mm | l / (s ha) | mm | l / (s ha) | mm | l / (s ha) | mm | l / (s ha) | mm | l / (s ha) | mm | l / (s ha) | mm | l / (s ha) | mm | l / (s ha) |
| 5 | | 6,1 | 203,3 | 7,5 | 250,0 | 8,3 | 276,7 | 9,4 | 313,3 | 11,0 | 366,7 | 12,7 | 423,3 | 13,8 | 460,0 | 15,2 | 506,7 | 17,2 | 573,3 |
| 10 | | 7,9 | 131,7 | 9,7 | 161,7 | 10,8 | 180,0 | 12,2 | 203,3 | 14,3 | 238,3 | 16,5 | 275,0 | 17,9 | 298,3 | 19,7 | 328,3 | 22,3 | 371,7 |
| 15 | | 9,1 | 101,1 | 11,1 | 123,3 | 12,3 | 136,7 | 14,0 | 155,6 | 16,4 | 182,2 | 18,8 | 208,9 | 20,4 | 226,7 | 22,5 | 250,0 | 25,6 | 284,4 |
| 20 | | 9,9 | 82,5 | 12,1 | 100,8 | 13,5 | 112,5 | 15,3 | 127,5 | 17,9 | 149,2 | 20,6 | 171,7 | 22,4 | 186,7 | 24,7 | 205,8 | 28,0 | 233,3 |
| 30 | | 11,2 | 62,2 | 13,7 | 76,1 | 15,3 | 85,0 | 17,3 | 96,1 | 20,3 | 112,8 | 23,3 | 129,4 | 25,3 | 140,6 | 27,9 | 155,0 | 31,6 | 175,6 |
| 45 | | 12,6 | 46,7 | 15,4 | 57,0 | 17,2 | 63,7 | 19,5 | 72,2 | 22,8 | 84,4 | 26,2 | 97,0 | 28,4 | 105,2 | 31,4 | 116,3 | 35,6 | 131,9 |
| 60 | 1 | 13,7 | 38,1 | 16,7 | 46,4 | 18,6 | 51,7 | 21,1 | 58,6 | 24,7 | 68,6 | 28,4 | 78,9 | 30,8 | 85,6 | 34,0 | 94,4 | 38,6 | 107,2 |
| 90 | 1,5 | 15,3 | 28,3 | 18,7 | 34,6 | 20,9 | 38,7 | 23,6 | 43,7 | 27,7 | 51,3 | 31,8 | 58,9 | 34,5 | 63,9 | 38,1 | 70,6 | 43,2 | 80,0 |
| 120 | 2 | 16,6 | 23,1 | 20,3 | 28,2 | 22,6 | 31,4 | 25,6 | 35,6 | 29,9 | 41,5 | 34,4 | 47,8 | 37,4 | 51,9 | 41,2 | 57,2 | 46,7 | 64,9 |
| 180 | 3 | 18,5 | 17,1 | 22,6 | 20,9 | 25,2 | 23,3 | 28,6 | 26,5 | 33,4 | 30,9 | 38,4 | 35,6 | 41,7 | 38,6 | 46,0 | 42,6 | 52,2 | 48,3 |
| 240 | 4 | 20,0 | 13,9 | 24,5 | 17,0 | 27,2 | 18,9 | 30,9 | 21,5 | 36,1 | 25,1 | 41,5 | 28,8 | 45,1 | 31,3 | 49,7 | 34,5 | 56,4 | 39,2 |
| 360 | 6 | 22,3 | 10,3 | 27,3 | 12,6 | 30,4 | 14,1 | 34,4 | 15,9 | 40,3 | 18,7 | 46,3 | 21,4 | 50,3 | 23,3 | 55,5 | 25,7 | 62,9 | 29,1 |
| 540 | 9 | 24,8 | 7,7 | 30,4 | 9,4 | 33,9 | 10,5 | 38,4 | 11,9 | 44,9 | 13,9 | 51,6 | 15,9 | 56,1 | 17,3 | 61,8 | 19,1 | 70,1 | 21,6 |
| 720 | 12 | 26,8 | 6,2 | 32,8 | 7,6 | 36,6 | 8,5 | 41,5 | 9,6 | 48,5 | 11,2 | 55,8 | 12,9 | 60,5 | 14,0 | 66,8 | 15,5 | 75,7 | 17,5 |
| 1080 | 18 | 29,9 | 4,6 | 36,6 | 5,6 | 40,7 | 6,3 | 46,2 | 7,1 | 54,1 | 8,3 | 62,2 | 9,6 | 67,5 | 10,4 | 74,4 | 11,5 | 84,4 | 13,0 |
| 1440 | 24 | 32,3 | 3,7 | 39,5 | 4,6 | 44,0 | 5,1 | 49,9 | 5,8 | 58,4 | 6,8 | 67,1 | 7,8 | 72,8 | 8,4 | 80,3 | 9,3 | 91,1 | 10,5 |
| 2880 | 48 | 38,8 | 2,2 | 47,5 | 2,7 | 52,9 | 3,1 | 60,0 | 3,5 | 70,2 | 4,1 | 80,7 | 4,7 | 87,6 | 5,1 | 96,6 | 5,6 | 109,6 | 6,3 |
| 4320 | 72 | 43,2 | 1,7 | 52,9 | 2,0 | 58,9 | 2,3 | 66,8 | 2,6 | 78,2 | 3,0 | 89,9 | 3,5 | 97,6 | 3,8 | 107,6 | 4,2 | 122,0 | 4,7 |
| 5760 | 96 | 46,7 | 1,4 | 57,1 | 1,7 | 63,6 | 1,8 | 72,1 | 2,1 | 84,4 | 2,4 | 97,1 | 2,8 | 105,3 | 3,0 | 116,2 | 3,4 | 131,7 | 3,8 |
| 7200 | 120 | 49,5 | 1,1 | 60,6 | 1,4 | 67,5 | 1,6 | 76,6 | 1,8 | 89,6 | 2,1 | 103,0 | 2,4 | 111,8 | 2,6 | 123,3 | 2,9 | 139,8 | 3,2 |
| 8640 | 144 | 52,0 | 1,0 | 63,7 | 1,2 | 70,9 | 1,4 | 80,4 | 1,6 | 94,0 | 1,8 | 108,1 | 2,1 | 117,3 | 2,3 | 129,4 | 2,5 | 146,7 | 2,8 |
| 10080 | 168 | 54,2 | 0,9 | 66,3 | 1,1 | 73,8 | 1,2 | 83,7 | 1,4 | 98,0 | 1,6 | 112,6 | 1,9 | 122,2 | 2,0 | 134,8 | 2,2 | 152,9 | 2,5 |

Starkniederschlagshöhen und -spenden gemäß KOSTRA-DWD-2020

Rasterfeld 71153

(Zeile 71, Spalte 153)

Örtliche Unsicherheiten in Abhängigkeit von Wiederkehrzeit T und Dauerstufe D

| Dauerstufe D | | Wiederkehrzeit T | | | | | | | | |
|--------------|-----|------------------|-----|-----|-----|------|------|------|------|-------|
| | | 1 a | 2 a | 3 a | 5 a | 10 a | 20 a | 30 a | 50 a | 100 a |
| min | Std | ± % | ± % | ± % | ± % | ± % | ± % | ± % | ± % | ± % |
| 5 | | 13 | 13 | 14 | 14 | 15 | 16 | 16 | 16 | 17 |
| 10 | | 13 | 15 | 16 | 17 | 18 | 19 | 20 | 20 | 21 |
| 15 | | 14 | 16 | 17 | 18 | 20 | 21 | 21 | 22 | 22 |
| 20 | | 14 | 17 | 18 | 19 | 20 | 21 | 22 | 23 | 23 |
| 30 | | 15 | 17 | 18 | 19 | 21 | 22 | 22 | 23 | 24 |
| 45 | | 14 | 17 | 18 | 19 | 21 | 22 | 22 | 23 | 24 |
| 60 | 1 | 14 | 16 | 17 | 19 | 20 | 21 | 22 | 22 | 23 |
| 90 | 1,5 | 13 | 15 | 17 | 18 | 19 | 20 | 21 | 21 | 22 |
| 120 | 2 | 12 | 15 | 16 | 17 | 18 | 19 | 20 | 21 | 21 |
| 180 | 3 | 11 | 13 | 15 | 16 | 17 | 18 | 19 | 19 | 20 |
| 240 | 4 | 11 | 13 | 14 | 15 | 16 | 17 | 18 | 19 | 19 |
| 360 | 6 | 10 | 12 | 13 | 14 | 15 | 16 | 17 | 17 | 18 |
| 540 | 9 | 10 | 12 | 12 | 13 | 14 | 15 | 16 | 16 | 17 |
| 720 | 12 | 11 | 11 | 12 | 13 | 14 | 15 | 15 | 16 | 17 |
| 1080 | 18 | 12 | 12 | 12 | 13 | 14 | 14 | 15 | 15 | 16 |
| 1440 | 24 | 12 | 12 | 12 | 13 | 14 | 14 | 15 | 15 | 16 |
| 2880 | 48 | 15 | 14 | 14 | 14 | 15 | 15 | 15 | 15 | 16 |
| 4320 | 72 | 17 | 16 | 16 | 16 | 16 | 16 | 16 | 16 | 16 |
| 5760 | 96 | 19 | 17 | 17 | 17 | 17 | 17 | 17 | 17 | 17 |
| 7200 | 120 | 20 | 19 | 18 | 18 | 18 | 17 | 17 | 17 | 18 |
| 8640 | 144 | 21 | 20 | 19 | 19 | 18 | 18 | 18 | 18 | 18 |
| 10080 | 168 | 22 | 20 | 20 | 19 | 19 | 19 | 19 | 19 | 19 |

Parameter für abweichende T und D

Lokationsparameter ξ (Xi)

13,88217998

Skalenparameter α (Alpha)

4,32693303

Formparameter κ (Kappa)

-0,1

1. Koutsoyiannis-Parameter θ (Theta)

0,02053305

2. Koutsoyiannis-Parameter η (Eta)

0,73414011

Parameter für dauerstufenübergreifende Extremwertschätzung nach KOUTSOYIANNIS et al. 1998.

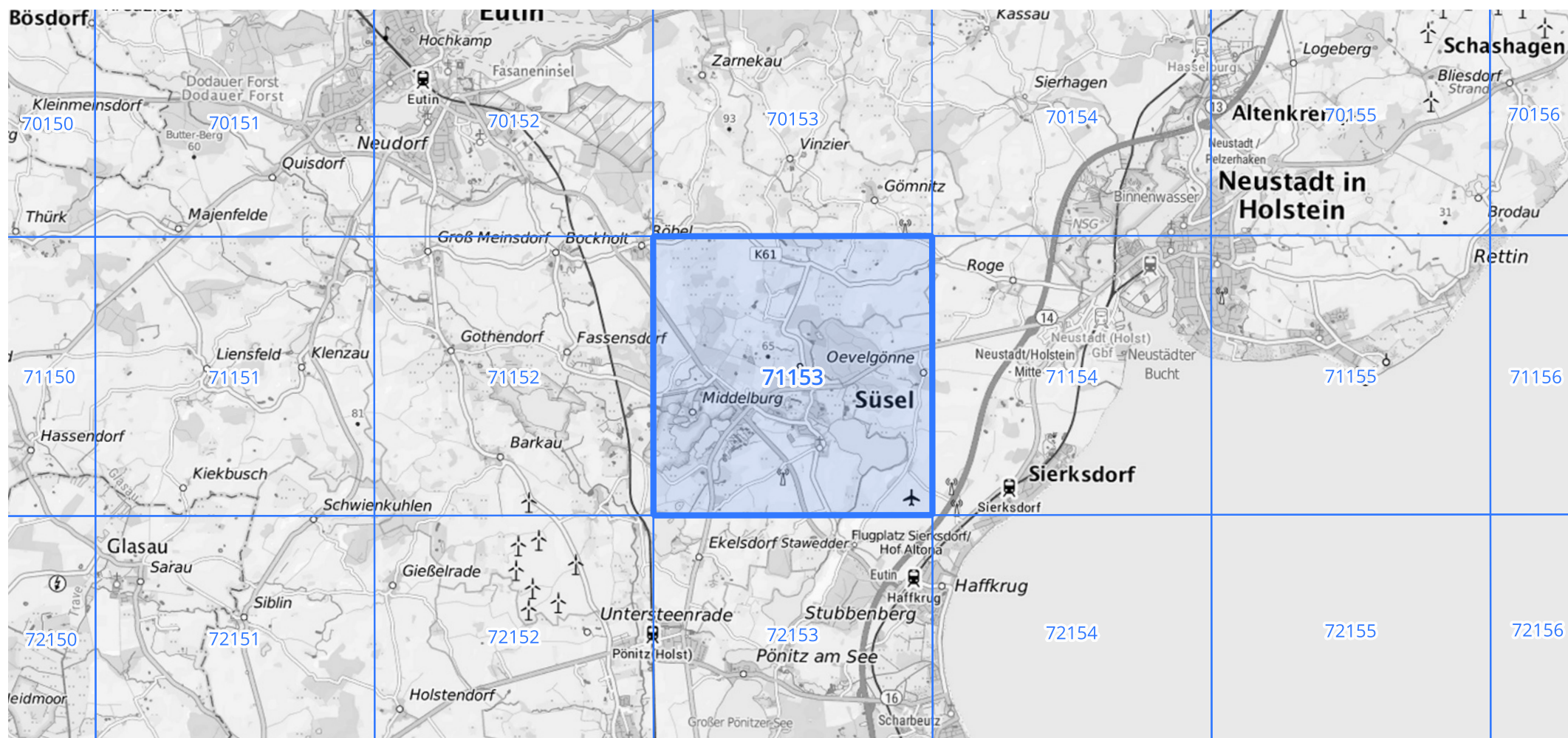
Siehe auch Anwendungshilfe zu KOSTRA-DWD-2020 des Deutschen Wetterdienstes.

Starkniederschlagshöhen und -spenden gemäß KOSTRA-DWD-2020

Rasterfeld 71153

(Zeile 71, Spalte 153)

Übersichtskarte des Rasterfeldes 71153, M 1 : 100 000



Quelle Rasterdaten: KOSTRA-DWD-2020 des Deutschen Wetterdienstes, Stand 12/2022.

Seite 3 von 3

Kartendarstellung: © Bundesamt für Kartographie und Geodäsie (2023), Datenquellen: https://sgx.geodatenzentrum.de/web_public/gdz/datenquellen/Datenquellen_TopPlusOpen.html

Für die Richtigkeit und Aktualität der Angaben wird keine Gewähr übernommen. Erstellt 01/2023.